

ОЗВУЧИТЕЛНО ТЯЛО СЪС СЪСТАВЕН ПАСИВЕН ИЗЛЪЧВАТЕЛ

Част 1

THOMAS L. CLARKE

Лаборатория по акустика на океана, Маями, FL 33149. САЩ
публикувано в JAES June 1981

Високоговорителните системи със съставен пасивен излъчвател представлява естествено продължение и на боксовете с басрефлекс, и на системите с пасивна мембрana. Допълнителното излъчване, дължащо се на съставния пасивен излъчвател осигурява допълнителна степен на свобода на проектирането, която позволява дублирането на характеристиките на всяко озвучително тяло с басрефлекс или пасивна мембрana, както и реализирането на нови характеристики, подобряващи ефективността в областта на ниските честоти. Изискваният обем от високоговорителя и пасивния излъчвател са същите, както и при пасивната мембрana.

0 ВЪВЕДЕНИЕ

Акустичното оформление на говорител с пасивен излъчвател (или пасивна мембрana) е описано най-напред от Олсон през 1935 год. [1]. Строгият анализ на честотната характеристика беше направен съвсем скоро от Small [2] и Nomura и Kitamura [3]. По-късно описаните варианти на акустично оформление на високоговорител с пасивна мембрana се появиха в Clarke [4] и Hossbach [5]. Вариантите, които могат да бъдат описани като съставен пасивен излъчвател, дават възможност за напасване на параметрите на системата, което дава по-добра ефективност от конвенционалните затворен обем, басрефлекс и система с пасивна мембрana, тоест, правилно настроената система със съставен пасивен излъчвател предлага подобрене в излъчването на ниските честоти, размерите на корпуса и ефективността.

Акустичното оформление с пасивна мембрana има много преимущества пред другите видове акустично оформление. То има по-ниска срязваща честота отколкото сравнително ефективната система със затворен обем със същия размер. Системата с пасивна мембрana е по-малко уязвима от нискочестотен шум от системата с бас-рефлекси не излъчва шум от завихрянето на въздуха в басрефлексния проход. Тя обаче има пропадане в честотната характеристика, което повишава срязващата честота и това пропадане прави трудно достигането на приемлива преходна характеристика. В системите със съставен пасивен излъчвател това пропадане има по-благоприятно разположение, понижавайки срязващата честота и подобрявайки преходната характеристика.

Фиг. 1 (а) показва система със съставен пасивен излъчвател, както е описана от Clarke [4]. Объемът на корпуса е разделен на две части- V_1 и V_2 . Тилната част на високоговорителя излъчва в обема V_1 , и обема V_1 от своя страна е свързан с частта на пасивната мембрana, означена като S_{p1} . Високоговорителя, V_1 и частта S_{p1} от пасивната мембрana по този начин представляват система с пасивна мембрana. Частта S_{p2} на пасивния излъчвател споделя съвместното движение на целия пасивен излъчвател и отделя обема V_2 . Частта V_2 по този начин помага на акустичното излъчване на системата в ниските честоти, където действува пасивния излъчвател. Точната форма на пасивния излъчвател не е съществена. Удобен начин да се реализира съставен пасивен излъчвател представлява показаните на фиг.1(б) два конуса с различна площ, съединени с върховете си и монтирани в отворите на корпуса.

В част 1 на тази статия системата със съставен пасивен излъчвател е анализирана посредством методите, описани в [6]. Основните аналитични резултати създават полезна методика за проектиране на система със съставен пасивен излъчвател и показват нейната връзка със системите с пасивна мембрana и с фазоинвертор. Освен това, подробно е изследвано подробно поведението на системата със съставен пасивен излъчвател при малък и при голям сигнал.

Част 2 представлява обсъждане на тези резултати и представя примери за синтез както при даден високоговорител, така и при даден набор от осъществими параметри.

1. АНАЛИЗ

На фиг.2 е показана еквивалентната схема от импедансен тип на система със съставен пасивен излъчвател. Символите в тази схема, както и в тази на фиг.3 са следните:

e_g -изходно напрежение на празен ход на източника или усилвателя.

P_g -изходно звуково налягане на еквивалентен генератор

B -напрегнатост на магнитното поле във въздушната междина на високоговорителя

l -дължина на проводника на звуковата бобина, обхваната от магнитното поле във въздушната междина.

R_g -изходно съпротивление на източника или усилвателя.

R_E -правотоково съпротивление на звуковата бобина на високоговорителя.

R_{AS} -акустично съпротивление на загубите в окачването на високоговорителя.

C_{AS} -акустична гъвкавост на окачването на високоговорителя

M_{AS} -акустична маса на трептящата система на високоговорителя, включително и присъединената маса въздух.

C_{AB1} -акустична гъвкавост на въздуха в обема V_1

C_{APS} -акустична гъвкавост на окачването на диафрагмата на пасивния излъчвател

M_{AP} -акустична маса на мембранията на пасивния излъчвател, включително и присъединената маса въздух.

R_{AP} -акустично съпротивление на загубите от окачването на пасивния излъчвател.

C_{AB2} -акустична гъвкавост на въздуха в обема, използван за разделение на допълнителната област от пасивния излъчвател V_2

U_D -обемна скорост на мембранията на високоговорителя.

U_{P1} -обемна скорост на частта S_{P1} на мембранията на пасивния излъчвател.

U_{P2} -обемна скорост на частта S_{P2} на мембранията на пасивния излъчвател.

U_{B1} -входяща обемна скорост за обема зад високоговорителя

U_{01} -пълна обемна скорост на изхода на обема зад високоговорителя

U_{L1} -обемна скорост от утечката на обема зад високоговорителя.

U_{B2} -входяща обемна скорост на обема на пасивния излъчвател

U_{02} -пълна обемна скорост на изхода на обема зад пасивния излъчвател.

U_{L2} -пълна обемна скорост от утечката на обема зад пасивния излъчвател

R_{AL1} -акустично съпротивление на загубите от утечка на обема зад високоговорителя.

R_{AB1} -акустично съпротивление на загубите от вътрешно звукопогълщане на обема зад високоговорителя.

R_{AL2} -акустично съпротивление на загубите от утечка на обема зад.

R_{AB2} -акустично съпротивление на загубите от вътрешно звукопогълщане на обема зад пасивния излъчвател.

S_D -ефективна площ на мембранията на високоговорителя

S_{P1} -площ на пасивния излъчвател, включена към обема зад високоговорителя

S_{P2} -площ на пасивния излъчвател, отделяща обема зад пасивния излъчвател.

Тази схема може да бъде опростена чрез комбиниране на R_{AS} със съпротивлението, дължащо се на електромагнитното демпфане на звуковата бобина на високоговорителя, за да се получи едно акустично съпротивление R_{AT} , където:

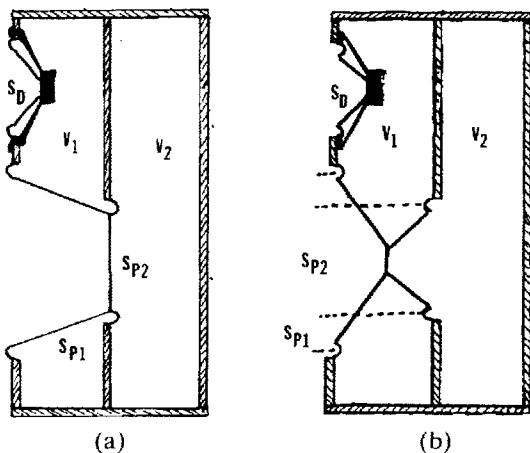
$$R_{AT} = R_{AS} + \frac{B^2 l^2}{(R_g + R_E) S_D^2} \quad (1)$$

Схемата може да бъде допълнително опростена като пренебрегнем загубите от утечката на кутията, вътрешното погълщане и загубите в окачването на пасивния излъчвател. Акустичните гъвкавости C_{APS} и C_{AB2} могат след това да бъдат обединени:

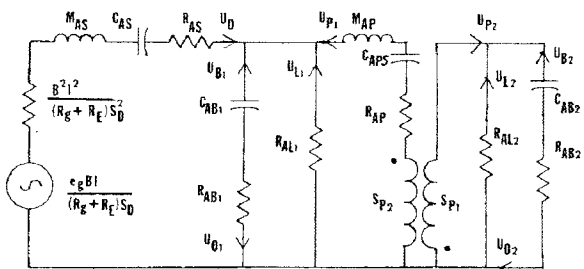
$$\frac{1}{C_{AP}} = \frac{1}{C_{APS}} + \left(\frac{S_{P2}}{S_{P1}} \right)^2 \frac{1}{C_{AB2}} \quad (2)$$

в резултат на опростената схема, показана на фиг.3.

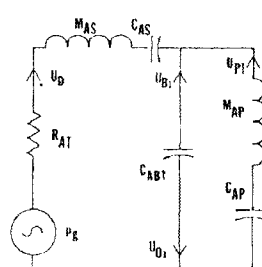
Фиг.3 е идентична по форма на [2, Фиг. 2], която представлява опростена акустична заместваща схема на пасивна мембрана. Следователно, много от характеристиките на съставния пасивен излъчвател трябва да са подобни на тези на стандартната конструкция. В частност, ако стойностите на елементите на схемите са еднакви, механичният импеданс и функциите на преместването на високоговорителя и на пасивния излъчвател са еднакви за двете системи. Поради конструктивните различия, се получава допълнителна скорост от обема U_{P2} , свързана със съставния пасивен излъчвател и честотната характеристика на съставния и стандартен пасивен излъчвател съвсем не са еднакви. Чрез съответен избор на параметрите на системата, честотната



Фиг.1. Разрез на две възможни структури на система със съставен пасивен излъчвател. (a)-с единична мембра. (b)-с две мембрани с различна площ.



Фиг.2.Пълна акустична заместваща схема на система със съставен пасивен излъчвател.



Фиг.3.Упростена акустична заместваща схема на система със съставен пасивен излъчвател.

характеристика на системата със съставен пасивен излъчвател може да бъда направена идентична на тази на всяка система с бас-рефлекс или настроена система с пасивна мембра.

При съставянето на еквивалентните схеми на Фиг.2 и 3 бяха пренебрегнати промените на акустичното съпротивление и на присъединената маса с честотата. Взаимодействието на високоговорителя с пасивния излъчвател също беше пренебрегнато. Тези приближения са възприети в [2].

Полезно е да представим времеконстантата и дименсионните отношения, характеризиращи говорителната система. За високоговорителя те са:

$$T_s^2 = \frac{1}{\omega_s^2} = C_{AS} M_{AS} \quad (3)$$

$$Q_T = \frac{\omega_s M_{AS}}{R_{AT}} \quad (4)$$

$$V_{AS} = \rho_0 c^2 C_{AS} \quad (5)$$

Формула (3) определя резонансната честота на високоговорителя $\omega_s = 2\pi f_s$. Формула (4) описва демпфането на резонанса на високоговорителя поради електромагнитните и механични загуби от триене (качество фактор). Формула (5), където ρ_0 е плътността на въздуха (1.18 kg/m^3 при стандартна температура и налягане) и c - скорост на звука (345 m/s при стандартна температура и налягане) дава еквивалентния обем на гъвкавостта на окачването на трептящата система на високоговорителя. Взето е пред вид, че стойността на M_{AS} (и

следователно всички получени резултати) включва ефекта от въздушното натоварване на високоговорителя, когато той е монтиран на корпуса.

Аналогично за пасивния излъчвател:

$$T_p^2 = \frac{1}{\omega_p^2} = C_{AP}M_{AP} \quad (6)$$

$$Q_{MP} = \frac{1}{\omega_p C_{AP} R_{APT}} \quad (7)$$

$$V_{AP} = \rho_0 c^2 C_{AP} \quad (8)$$

Тук R_{APT} включва ефекта от R_{AP} и загубите от корпуса на пасивния излъчвател. Приема се, че M_{AP} включва ефекта на въздушното натоварване на пасивния излъчвател, когато той е монтиран на корпуса.

Корпусът с монтирания пасивен излъчвател притежава резонансна честота по същия начин, както и фазоинвертора или пасивната мембрана. Тази честота е дадена чрез:

$$T_B^2 = \frac{1}{\omega_B^2} = \frac{C_{ABI}M_{AP}}{1 + \frac{C_{ABI}}{C_{APS}}} \quad (9)$$

Качествените фактори могат за бъдат свързани с резонанса на корпуса поради загубите от поглъщане, утечки и загуби от пасивния излъчвател съответно:

$$Q_A = \frac{1}{\omega_B C_{ABI} R_{ABI}} \quad (10)$$

$$Q_L = \omega_B C_{ABI} R_{ALI} \quad (11)$$

$$Q_P = \frac{1}{\omega_B C_{ABI} R_{APT}} \quad (12)$$

Взаимодействието на високоговорителя, пасивния излъчвател и корпуса най-добре се описва чрез набора от безразмерни коефициенти. Това са коефициентът на гъвкавостите на пасивния излъчвател:

$$\delta = \frac{C_{AP}}{C_{ABI}} \quad (13)$$

коекфицентът на настройка на системата:

$$h = \frac{f_B}{f_S} = \frac{\omega_B}{\omega_S} = \frac{T_S}{T_B} \quad (14)$$

и коекфицентът на настройка на пасивния излъчвател:

$$y = \frac{f_P}{f_S} = \frac{\omega_P}{\omega_S} = \frac{T_S}{T_P} \quad (15)$$

Връзката между тези коекфициенти е:

$$\frac{T_p}{T_B} = \frac{f_B}{f_P} = \frac{h}{y} = \sqrt{\delta + 1} \quad (16)$$

Коекфицентът на гъвкавостта на системата може да бъде определен по два начина:

$$\alpha' = \frac{C_{AS}}{C_{ABI}} \quad (17)$$

представлява отношението на гъвкавостта на високоговорителя и гъвкавостта на въздуха в корпуса на високоговорителя. Освен това:

$$\alpha = \frac{C_{AS}}{C_{AB1} + C_{AB2}} \quad (18)$$

представлява отношението между гъвкавостта на високоговорителя и гъвкавостта на общия обем въздух, включен в системата.

$$\gamma = \frac{S_{P1} + S_{P2}}{S_{P1}} \quad (19)$$

представлява отношението на излъчващата площ към площта на пасивния излъчвател.

$$\epsilon = \frac{C_{AB1}}{C_{AB1} + C_{AB2}} \quad (20)$$

представлява отношението на обема на корпуса на високоговорителя към общия обем. Ако

$C_{APS} \gg \left(\frac{S_{P1}}{S_{P2}}\right)^2 C_{AB2} = \frac{C_{AB2}}{(\gamma - 1)^2}$ то ест повечето от твърдостта на пасивния излъчвател се дължи на

въздуха в корпуса на пасивния излъчвател. Тогава:

$$\delta \equiv \frac{1 - \epsilon}{\epsilon(\gamma - 1)^2} \quad (21)$$

Гореспоменатите стойности са горната граница и могат да бъдат доближени като се направи пасивния излъчвател физически голям по такъв начин увеличивайки C_{APS} .

От анализа на фиг.3, използвайки методите от [6] и заменяйки гореспоменатите безразмерни коефициенти, могат да бъдат получени функциите, описващи системата. Трябва да се вземе под внимание обемната скорост U_{P2} която не е показана на фиг.3. За системата със съставен пасивен излъчвател общия изход е даден с векторната сума:

$$U_0 = U_D + U_{P1} + U_{P2} = U_D + \gamma U_{P1} \quad (22)$$

Функцията на чувствителността е:

$$G(s) = \frac{s^2 T_s^2 (s^2 T_p^2 + 1 + \delta(\gamma - 1))}{D(s)} \quad (23a)$$

където:

$$D(s) = s^4 T_p^2 T_s^2 + \frac{s^3 T_p^2 T_s}{Q_T} + s^2 [(\alpha' + 1) T_p^2 + (\delta + 1) T_s^2] + s \frac{(\delta + 1) T_s}{Q_T} + (\alpha' + \delta + 1) \quad (23b)$$

и $s = \sigma + j\omega$ е комплексната променлива честота.

Функцията на преместването на мембранията на високоговорителя нормирана като единица за нулевата честота е:

$$X(s) = \frac{(\alpha' + \delta + 1)(s^2 T_b^2 + 1)}{D(s)} \quad (24)$$

и константата на преместването е:

$$K_x = \frac{\delta + 1}{\alpha' + \delta + 1} \quad (25)$$

Функцията на преместването на мембранията на пасивния излъчвател е:

$$X_p(s) = \frac{\alpha' + \delta + 1}{D(s)} \quad (26)$$

Функцията на импеданса на звуковата бобина е същата, като дадената в [2] като е заместена α със α' и за това няма да бъде повторена тук.

2 ЧУВСТВИТЕЛНОСТ

Функцията на системата със съставен пасивен изльчвател, дадена с формула (23) има същата форма, както и тази на стандартната система с пасивен изльчвател (например, [2], формула (27)), тоест, това е функция на високочестотен филтър от четвърти ред. Една двойка нули е разположена в началото, а втората е разположена на:

$$s^2 T_p^2 = -1 + \delta(\gamma - 1) \quad (27)$$

ако

$$\delta(\gamma - 1) = 1 \quad (28)$$

тогава втората двойка нули също е разположена в началото. Ако се приложи изразът (22), то (28) се преобразува във:

$$\gamma \approx \frac{1}{\varepsilon} \quad (29)$$

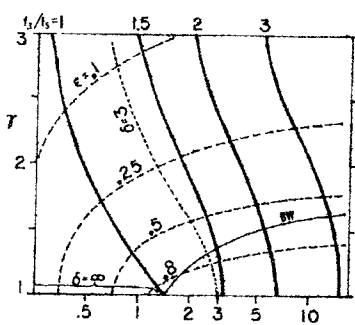
Следователно, ако са удовлетворени равенствата (28) или (29), функцията на чувствителността става подобна на тази на системата с басрефлекс. Пропадането в честотната характеристика, която беше проблем при системата с пасивна мембрана, е премахнато от съставния пасивен изльчвател.

2.1 ЧЕСТОТНА ХАРАКТЕРИСТИКА

Честотната характеристика $G(j\omega)$ от формула (23) е изследвана по-подробно в приложението (включено в част II) и са дадени конструктивните методи за напасване на параметрите на системата. Тази настройка е подобна на дадените за системата с пасивна мембрана в [2] и за фазоинвертора в [7].

Големия обхват от честотни характеристики е достигнат поради променливите позиции на нулите във формула (23). В частност има семейство системи, удовлетворяващи формула (28) или формула (29), които се проявяват като чист високочестотен филтър на Бътъруърт от четвърти ред. Ако $\gamma > 1/\varepsilon$ във формула (29), двете нули на характеристиката са разположени на $j\omega$ оста и характеристиката е подобна на тази на системата с пасивна мембрана с по-стръмен склон на падането. Ако $\gamma < 1/\varepsilon$, двете нули на характеристиката са разположени на реалната ос. Характеристиката в този случай спада по-стръмно от чистия филтър на Бътъруърт от четвърти ред, и колкото нулите се отдалечават от началото, характеристиката се доближава до тази на затворен обем [8]. Тази последна форма на характеристика няма пряк аналог в предишните високоговорителни системи и би могла да бъде наречена характеристика от квази втори ред.

2.2 ТИП ХАРАКТЕРИСТИКА



Фиг.4. Криви на константни ε , δ и f_0/f_s за максимално плоски настройки на система със съставен пасивен изльчвател, начертани в зависимост от α и γ . Кривата BW е мястото на характеристикиките тип Бътъруърт.

Системата със съставен пасивен изльчвател има шест независими параметри: $T_s, h, Q, \alpha, \delta$ (или ε) и γ . Както при системата с пасивна мембрана [2], определянето на даден тип характеристика (квази-максимално плоска и т.н.) не е достатъчно единствено да се определят тези параметри. За типовете характеристики, разглеждани в приложението (квази максимално плоско [9] и елиптично [10]), набора от четири променливи позволява да бъдат намерени останалите две. Запазването на T_s с постоянна стойност, тъй като това по същество само установява мащаба по честота, задаването на стойностите на α и δ (или ε) определя другите параметри. Системата със съставен пасивен изльчвател, следователно, има три независими конструктивни параметъра, докато системата с пасивна мембрана има два (α и δ), а системата с фазоинвертор-един (α).

Ако, освен това, се изисква системата да има максимално плоска характеристика, отпада по един независим конструктивен параметър от всяка от трите системи. На фиг. 4 е начертана

графиката на системните параметри във функция от α и γ за максимално плосък тип характеристика на система със съставен пасивен излъчвател. Показани са няколко криви на параметрите ϵ и δ . Освен това са показани линиите на постоянната нормализираната срязваща честота f_3/f_S . Кривата, отбелаязана като BW съдържаща всички типове характеристики има чиста характеристика на чист

Бътъруърт от четвърти ред. Настройките под линията BW имат двойна нула на оста δ , а тези над и наляво от тази линия имат нули на оста ϵ . Точките на $\gamma = 1$ съответстват на максимално плоска характеристика на система с басрефлекс, а точките надясно от $\alpha = \sqrt{2}$ по $\gamma = 1$ съответстват на максимално плоската характеристика на система с пасивна мембра. По този начин и стандартната пасивна мембра и фазоинвертора могат да бъдат разглеждани като гранични случаи на съставния пасивен излъчвател.

На фиг.5 са начертани системните параметри във функция от α' и γ . Тук кривите на константно δ са показани аналогично на кривите на константно f_3/f_S . Отново кривата BW отговаря на чистата характеристика на Бътъруърт от четвърти ред. Конструкцията, основана на α' и γ върши работа когато наличният обем на кутията на пасивния излъчвател е неограничен, така, че :

$$C_{AP} = C_{APS} \ll \frac{C_{AB2}}{(\gamma - 1)^2} \quad (30)$$

В този случай C_{AP} и δ са еднозначно определени чрез гъвкавостта на пасивния излъчвател, а ϵ е излишен.

Фиг.5. Криви на константни δ и f_3/f_S за максимално плоски настройки на система със съставен пасивен излъчвател, начертани в зависимост от α' и γ . Кривата BW е местоположението на настройките тип Бътъруърт.

Съответстващ избор на S_{P1} и S_{P2} може да бъде постигната всяка стойност на γ . Фактически, някои от структурите, представени в [5] съответстват на отрицателните стойности на γ . На пръв поглед, няма голям смисъл в използването на стойности на γ по-малки от 1, тъй като пропадането в честотната

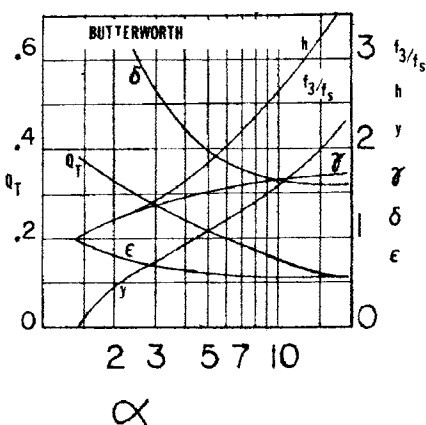
характеристика ще се прояви на по-висока честота. Случая $\gamma \rightarrow 0$ и $\delta \rightarrow 0$ съответства на системата със затворен обем и може би необичайните стойности на γ биха обединили някои характеристики на затворения обем и на системата с пасивна мембра.

Номограмите бяха изчислени по методите, дадени в приложението за ред комбинации на ϵ и γ . Фиг. 6 - диаграма на настройка за линията BW, показвана на Фиг. 4. Тя дава стойностите за ϵ и δ така, че α' може да бъде определен ако няма ограничения в обема на корпуса с пасивния излъчвател. При използването на фиг.6, системата със загуби с характеристика на Бътъруърт от четвърта степен може да бъде изчислена за всяка стойност на $\alpha \geq \sqrt{2}$. Това семейство от характеристики илюстрира как всеки фазоинвертор или характеристика на пасивна мембра могат да бъдат използвани като основа за цяло семейство системи със съставни пасивни излъчватели;

подробностите са дадени в приложението, част II.

Някои стойности на γ , разбира се, са достигнати чрез използването на стандартни компоненти. В частност, $\gamma = 1.67$ се постига чрез комбинацията на 8-in (203-mm) конус с 6.5-in (165-mm) конус, с 12-in (305 mm) с 8-in (203-mm), или 15-in (381-mm) с 10-in (254-mm) конус. Аналогично, 2.33 съответства на 10-in (254-mm) 8-in (203-mm), а 12-in (305-mm) с 10-in (254-mm) или конус 15-in (381-mm) с конус 12-in (305-mm).

Преходното характеристика за характеристиката Бътъруърт е идентична на представената в [7, Фиг. 14] за системи с фазоинвертор с настройка Бътъруърт. Аналогично, $\gamma > 1/\epsilon$ характеристиките проявяват преходна характеристика, подобна на системата с пасивна мембра [2,



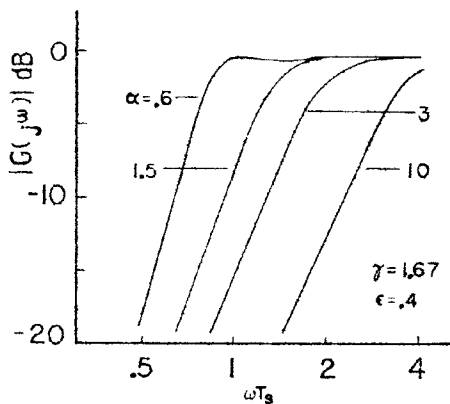
Фиг.6. Комплекс параметри за характеристики от типа Бътъруърт от четвърти ред за системи със съставен пасивен излъчвател.

Някои стойности на γ , разбира се, са достигнати чрез използването на стандартни компоненти. В частност, $\gamma = 1.67$ се постига чрез комбинацията на 8-in (203-mm) конус с 6.5-in (165-mm) конус, с 12-in (305 mm) с 8-in (203-mm), или 15-in (381-mm) с 10-in (254-mm) конус. Аналогично, 2.33 съответства на 10-in (254-mm) 8-in (203-mm), а 12-in (305-mm) с 10-in (254-mm) или конус 15-in (381-mm) с конус 12-in (305-mm).

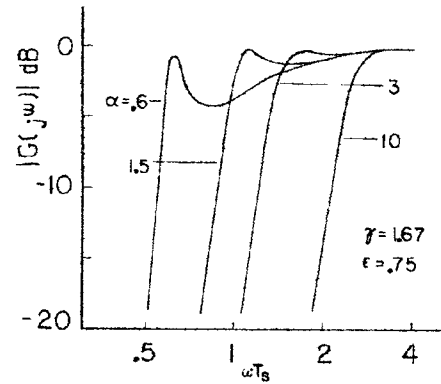
Преходното характеристика за характеристиката Бътъруърт е идентична на представената в [7, Фиг. 14] за системи с фазоинвертор с настройка Бътъруърт. Аналогично, $\gamma > 1/\epsilon$ характеристиките проявяват преходна характеристика, подобна на системата с пасивна мембра [2,

Фиг. 12]. В частност, за малките стойности на α , характеристиките с $\gamma > 1/\epsilon$ проявяват недопустими нива на отскок и звънтене.

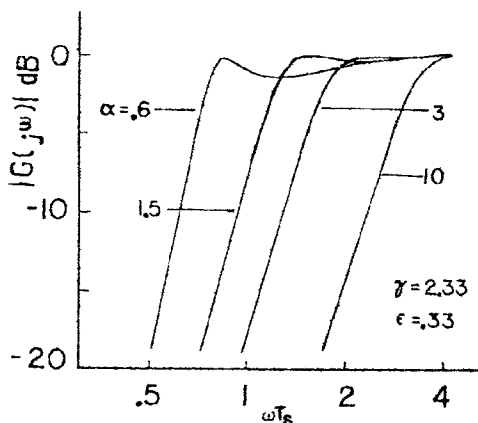
Допускайки, че $C_{APS} \ll C_{AB2} / (\gamma - 1)^2$ стойностите на ϵ , бяха избрани които интерполират случая



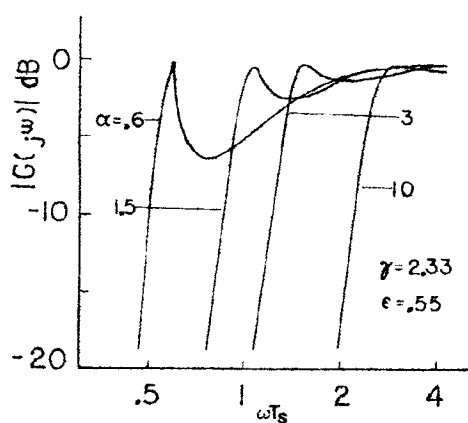
Фиг.7. Характеристики на система със съставен пасивен изълчвател за $\gamma=1,67$, $\epsilon=0,40$



Фиг.8. Характеристики на система със съставен пасивен изълчвател за $\gamma=1,67$, $\epsilon=0,75$

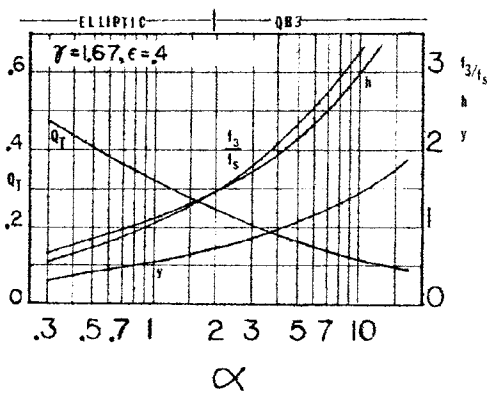


Фиг.9. Характеристики на система със съставен пасивен изълчвател за $\gamma=2,33$, $\epsilon=0,33$

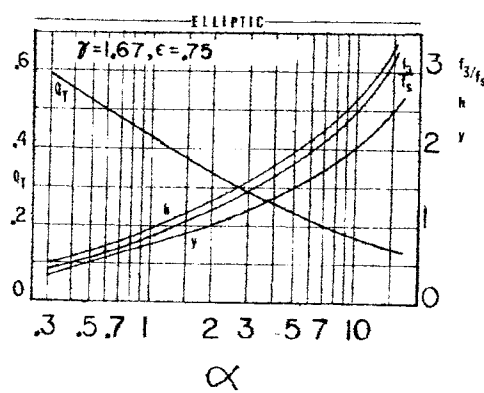


Фиг.10. Характеристики на система със съставен пасивен изълчвател за $\gamma=2,33$, $\epsilon=0,55$

$\epsilon = 1/\gamma$ за $\gamma = 1,67$ и $\gamma = 2,33$. Характеристиките на системата за тези случаи са показани на фиг.7-10, а номограмите за системите със загуби са показани на фиг.11-14. Характеристиките

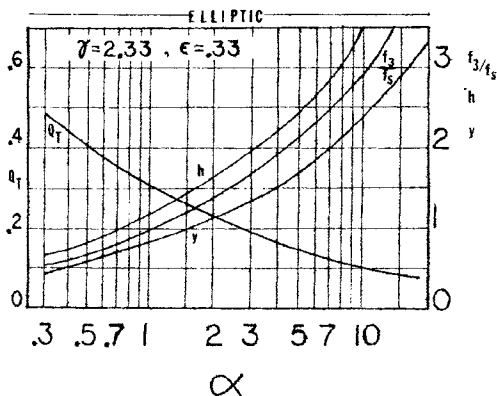


Фиг.11. Номограма за система със съставен пасивен изълчвател без загуби при $\gamma=1,67$, $\epsilon=0,40$

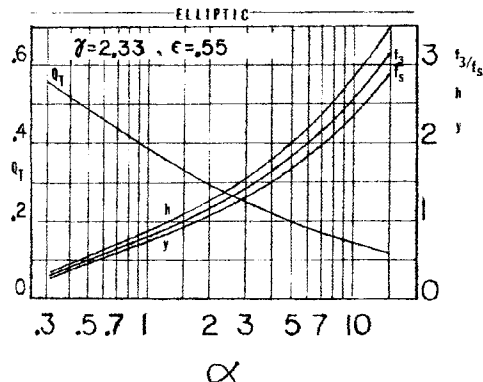


Фиг.12. Номограма за система със съставен пасивен изълчвател без загуби при $\gamma=1,67$, $\epsilon=0,75$

за междинните стойности на ϵ и γ могат да бъдат интерполирани от графиките. Характеристиките имат тенденция да бъдат по-гладки за $\gamma < 1/\epsilon$, особено за малките стойности на α . Обаче, случаяя $\gamma > 1/\epsilon$ има тенденция да създава по-ниска сръзваваща честота.



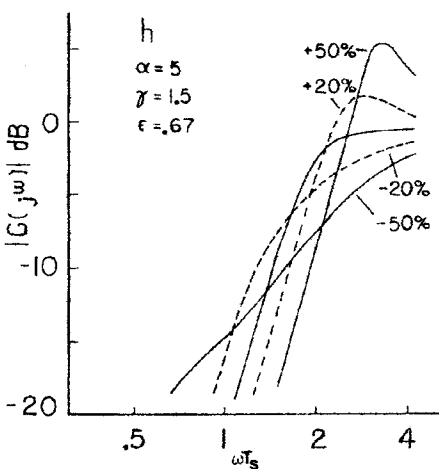
Фиг.13. Номограма за система със съставен пасивен излъчвател без загуби при $\gamma=2,33$, $\epsilon=0,33$



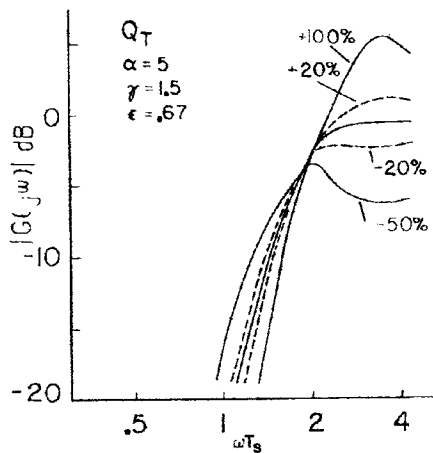
Фиг.14. Номограма за система със съставен пасивен излъчвател без загуби при $\gamma=2,33$, $\epsilon=0,55$

2.3 Влияние на неравномерността и загубите.

Чувствителността на системата със съставен пасивен излъчвател към грешки на напасването на параметрите е подобна на тази при системите с фазоинвертор и с пасивна мембрана. Влиянието на



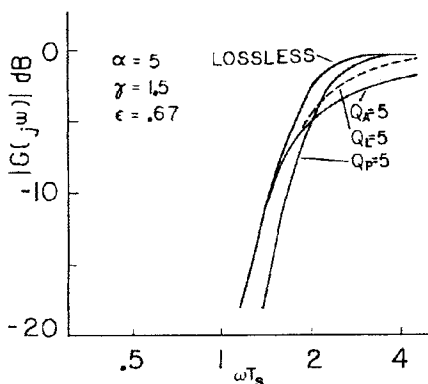
Фиг.15. Влияние на неточността на h върху характеристиката на система със съставен пасивен излъчвател.



Фиг.16. Влияние на неточността на Q_T върху характеристиката на система със съставен пасивен излъчвател.

грешките в резонансната честота на корпуса върху характеристиката на системата е показана на Фиг. 15. Фиг. 16 илюстрира влиянието на грешките в дъмпинг фактора на високоговорителя. Както и при другите системи, грешки с 20 % или по-малко имат незначителен ефект върху характеристиката на системата. Влиянието на загубите на системата (Q_A, Q_L и Q_P) върху системата със съставен пасивен излъчвател е подобен на този за система с пасивна мембрана. Влиянието на тези загуби върху характеристиката за $\alpha = 5$ -Бътърътова настройка е показан на фиг.17. Загубите в пасивния излъчвател имат най-малъко влияние върху системата, а загубите от погълщане имат най-голямо влияние.

Смятаме, че следващите уравнения ще бъдат по-полезни от показването на още четири графики на настройки на системата със съставен пасивен излъчвател, защото дават коригираните стойности на h , f_3 и Q_T при наличие на загуби:

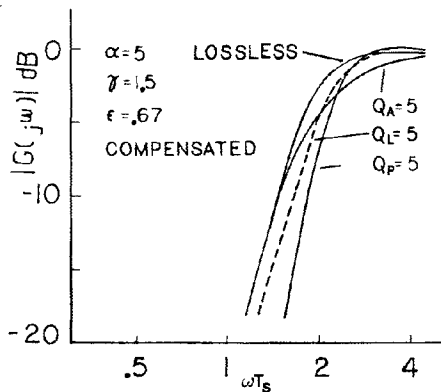


Фиг.17. Влияние на загубите в обема върху характеристиката на система със съставен пасивен излъчвател.

влиянието на загубите върху обемната скорост на пасивния излъчвател при честотата на резонанса на кутията. Изместването на честотата на резонанса на кутията нагоре със стойност, дадена във формула

(31b) възстановява изхода на пасивния излъчвател на резонансната честота на кутията към стойността на загубите. Първият член във формула (32c) изменя Q_T , за да вземе пред вид новата стойност на h , а вторият член взема пред вид загубите от поглъщане. Утежнената сума Q'_B беше намерена, за да осигури по-добра компенсация от другите прости комбинации от индивидуални загуби.

Характеристиката при загуби $\alpha = 5$ настройка Бътъръпт с h'/Q'_T , давани с формули (31) и (32) са дадени на фиг.18. Корекциите, въвеждани с формули (31) и (32) дават приемливи криви на честотната характеристика. Алтернативно, ако α може да бъде изменено, правилото на Keele на палеца за свръх обем на бокса до 40 % може да се използува, за да компенсира загубите (както в [11]).



Фиг.18. Характеристиката на системата със съставен пасивен излъчвател след настройката трябва да бъде доналагасена за компенсиране на загубите в обема.

3. ЕФЕКТИВНОСТ

3.1 Коефициент на полезно действие

Ефективният диапазона на буталното действие на високоговорителя е даден с [10.фиг.(33)]:

$$\eta_0 = \frac{4\pi^2}{c^3} \frac{f_s^3 V_{AS}}{Q_{ES}} \quad (33)$$

Използвайки метода от [7, sec.5] формула (33) може да бъде приведена във вида:

$$\eta_0 = K_\eta f_3^3 V_B \quad (34)$$

където V_B е чистия вътрешен обем на кутията на системата, а K_η -е коефициент на ефективността, състоящ се от два фактора:

$$K_\eta = K_{\eta(Q)} K_{\eta(G)} \quad (35)$$

където

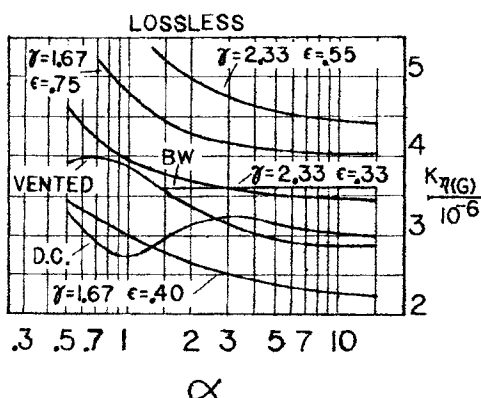
$$K_{\eta(G)} = \frac{4\pi^2}{c^3} \frac{V_{AS}}{V_B} \frac{f_s^3}{f_3^3} \frac{1}{Q_T} \quad (36)$$

представлява коефициент на характеристиката на системата в зависимост от типа на системата и характеристиката, и

$$K_{\eta(Q)} = \frac{Q_T}{Q_{ES}} \quad (37)$$

представлява коефициент на загубите на високоговорителя, измерващ степента, в която електромагнитното демпфане е допринесло за тоталното демпфане.

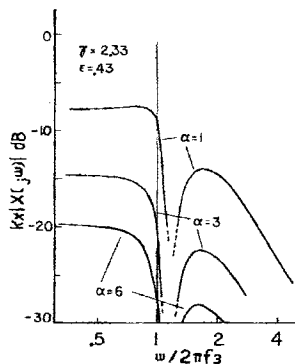
3.2 Коефициент на чувствителността на системата.



Фиг.19. Коефициентът на характеристиката $K_{\eta(G)}$ на коефициента на полезно действие за няколко различни характеристики на системи със съставен пасивен изльчвател без загуби за системи със затворен обем и пасивна мембра ($\delta=\alpha$).

бъде разширена до цялото семейство характеристики на системата със съставен пасивен изльчвател; по този начин всяка характеристика, съответстваща на точка от кривата на фазоинвертор е начална точка на семейство характеристики. Ако константите на ефективността на това семейство бъдат начертани, те ще бъдат хоризонтални линии, лежащи в дясно от началната точка.

4. ЧУВСТВИТЕЛНОСТ ПРИ ГОЛЯМ СИГНАЛ



Фиг.20. Функцията на преместването на мемраната на система със съставен пасивен изльчвател като функция на нормираната честота.

Стойностите на $K_{\eta(G)}$, които са изчислени за системите със загуби са показани на фиг. 6 и 11-14. Те са начертани на фиг.19 заедно със стойностите на характеристиката за пасивна мембра и фазоинвертор като функция на α . За $\gamma > 1/\epsilon$ коефициентът на чувствителност на системата е до 50% по-голям от стойностите за фазоинвертор или характеристиката с пасивна мембра, имащи същото α . Характеристиките с $\gamma < 1/\epsilon$ (включително характеристиките Бътъруърт) имат коефициент на чувствителността сравними или малко по-малък от този на фазоинвертора или системите с пасивна мембра.

Характеристиката на Butterworth (линията BW на фиг.19) илюстрира факта, че за идентичните характеристики коефициентите на чувствителността на системите са идентични. Както е показано в приложението, Част II, всяка характеристика на фазоинвертор или система с пасивен изльчвател може да

4.1 Преместване на мемраната на високоговорителя

Функцията на преместването на мемраната на високоговорителя за системи със съставен пасивен изльчвател [Формула (24)] и на константата на преместването K_X [Формула (25)] са подобни на тези при системите с пасивна мембра [2, Формули (23), (24)]. Тъй като характеристиките на системата със съставен пасивен изльчвател по принцип имат по-малки стойности на δ отколкото съответните характеристики на пасивната мембра и тъй като $\alpha' = \alpha / \epsilon$ е по-голям от α , K_X по принцип е по-малък за системите със съставен пасивен изльчвател. Фиг. 20 представлява графиката на $K_X|X(j\omega)|$ за няколко характеристики на системи със съставни пасивни изльчватели без загуби. Машабът на честотата е нормализиран по f_3 . Графиките са подобни по форма на тези за система с басрефлекс. [7, Фиг. 17] или такава с пасивна мембра [2,

Фиг. 14]. Величината $K_X|X(j\omega)|$ е значително намалена в сравнение тази за системата с пасивна мембра на в ниските и високи честоти. Разбира се, високоговорителят в една система със съставен пасивен изльчвател има по-висока чувствителност на преместването, отколкото този в системата с пасивна мембра с идентична настройка така, че амплитудата на преместването на драйверите да бъде идентична. Особеността на системата със съставен пасивен изльчвател в сравнение с другите системи, която е очевидна на фиг.20 е, че за настройките с ниско α , минимумът на изместването на мембрата е на честота, значително по-висока от f_3 . По този начин $K_X|X(j\omega)|$ може да има по-висока амплитуда на f_3 , отколкото на по-високи честоти.

4.2 Оценка на мощността

Оценката на установената ограничена от преместването акустична мощност е дадена в опростена форма:

$$P_{AR} = K_P f_3^4 V_D^2 \quad (38)$$

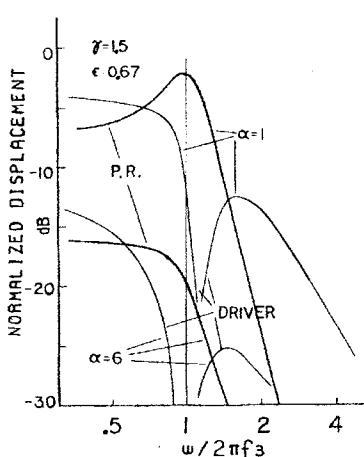
където $V_D = X_{MAX} S_D$ е обемът на най-високата стойност на линейното преместване на високоговорителя; тук X_{MAX} е най-високата стойност на преместването на мембрата на високоговорителя. K_P е константа за оценка на мощността, която зависи от настройката. В [7] и [2] е показано, че стойността на $K_P=3$ е добра апроксимация на всички настройки на системи с пасивна мембра и бас-рефлекс. Тази стойност е подходяща също така и за оценка на системите със съставен пасивен изльчвател. Практически стойността $K_P = 3$ е много консервативна и може да бъде увеличена няколко пъти в системите, разработени за обикновено възпроизвеждане на музика в затворени помещения.

Оценката на ограничената от преместването електрическа входна мощност е получена чрез обединяването на формули (38) и (34):

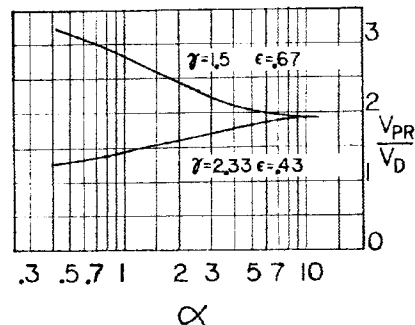
$$P_{ER} = \frac{P_{AR}}{\eta_0} = \frac{K_P}{K_\eta} f_3 \frac{V_D^2}{V_B} \quad (39)$$

4.3 Преместване на пасивния изльчвател.

Оценката на ограничената от преместването мощност на система със може да бъде направена,



Фиг.21. Функции на преместването на мембрата на високоговорителя и пасивния изльчвател като функция на нормираната честота.



Фиг.22. Необходимото отношение на обема на преместването на пасивния изльчвател V_{PR} към обема на преместването на високоговорителя V_D като функция на α за две характеристики на два съставни пасивни изльчвателя.

само ако обемът на преместването на пасивния изльчвател е достатъчен. Структурата на съставен пасивен изльчвател позволява конструирането на пасивни изльчватели с голямо

преместване. Тъй като по-голямата част от твърдостта се дължи на въздуха в обема зад пасивния изльчвател (пасивен изльчвател с въздушно окачване?), окачването, което го поддържа в отвора само

осигурява херметична изолация и висока еластичност. Обаче изискванията за преместването на пасивния изльчвател могат да бъдат съществени и те трябва да бъдат оценени.

На фиг. 21 нормализираните премествания на високоговорителя и на пасивния изльчвател са начертани за две характеристики без загуби с различни стойности на α . Функцията на преместването на пасивния изльчвател $X_p(s)$ [Формула (26)] приема съществени стойности само при честоти, близки до честотата на сръзване на системата. Точните изисквания за преместването на пасивния изльчвател, разбира се, зависят от спектъра на възпроизвеждания сигнал. При възпроизвеждането на сигнал, ограничен от лентова система, Фиг. 22 показва отношението на обема на максималното преместване на пасивния изльчвател V_{PR} към обема на преместването на високоговорителя за две характеристики срещу α . V_{PR} е обема на максималното линейно преместване на пасивния изльчвател, тоест, сумата от S_{P1} и S_{P2} на максималното линейно преместване. За голямо α двете криви са подобни и обемът на преместването на пасивния изльчвател трябва да бъде около два пъти по-голям от този на високоговорителя. Отношението се приближава към 1 за ниско ε и високо γ при настройка с ниско α и се увеличава за настройките с високо ε и ниско γ . Това разминаване се дължи повече на голямото преместване, изисквано от високоговорителя при ниско ε в случай на ниски стойности на α , отколкото на много голямото изместване на пасивния изльчвател в случая с високо ε . Това отразява консерватизма на стойностите на K_p , указан по-рано. Стойността на $V_{PR} / V_D = 2$ може по този начин да бъде прието за всички характеристики на системите със съставен пасивен изльчвател. Тази стойност постоянно ще предсказва необходимото изместване на пасивния изльчвател.

5.ИЗМЕРВАНЕ НА ПАРАМЕТРИТЕ

Малосигналните параметри $\alpha', \delta, h, Q_T, T_S, \gamma$ при системите със съставен пасивен изльчвател могат да бъдат измерени посредством методите, дадени в [2, секция 8]. Системите със съставен пасивен изльчвател имат допълнителните параметри γ и ε . Също така стойностите на C_{APS} или на $\delta' = C_{APS} / C_{AB1}$ могат да бъдат желателни. Стойността на γ може, разбира се, да бъде получено приблизително от физическо измерване, но е трудно да се измери ефективния диаметър на мембраната. Стойността на δ' може да бъда получено, като се измери δ на пасивния изльчвател с отворен заден обем. Коефициентът ε може да бъде получен достатъчно точно от размерите на корпуса. В заключение,

$$\gamma = 1 + \sqrt{\frac{1-\varepsilon}{\varepsilon} \left(\frac{1}{\delta} - \frac{1}{\delta'} \right)} \quad (40)$$

6. ЛИТЕРАТУРА

- [1]. H.F.Olson, "Loud Speaker and Metod of Propagating Sound," U.S.Patent 1,988,250, application 1934 Feb.17; patented 1935 Jan.15.
- [2] R.H.Small, "Passive-Radiator Loudspeaker Systems, Part I, Analysis," *J.Audio Eng.Soc.*, vol.22, pp. 592-601 (1974 Oct.)
- [3] Y. Nomura and Z. Kitamura, "An Analysis of Design Conditions for a Phase-Inverter Speaker System with a Drone Cone," *IEEE Trans.Audio Electroacoust.*, vol.AU-21,pp397-407 (1973 Oct.).
- [4] T.L.Clarke, "Augmented Passive Radiator Loudspeaker," U.S.Patent 4,076,097, application 1976 Aug.4, patented 1978 Feb.28.
- [5] E.Hossbach, "Loud Speaker System," U.S.Patent 3,772,466, application 1971 Nov.24, patented 1973 Nov. 13.
- [6] R.H.Small, "Direct-Radiator Loudspeaker System Analisis," *IEEE Trans.Audio Electroacoust.*, vol.AU-19, pp.269-281 (1971 Dec.); republished in *J.Audio Eng.Soc.*, vol.20,pp.383-395 (1972 June).
- [7] R.H.Small, "Vented-Box Loudspeaker Systems," *J.Audio Eng.Soc.*, vol.21,pp. 363-372 (1973 June); pp. 438-444 (1973 July/Aug.); pp.549-554 (1973 Sept.); pp. 635-639 (1973 Oct.).
- [8] R.H.Small, "Closed-Box Loudspeaker Systems," *J.Audio Eng.Soc.*, vol.20, pp.798-808 (1972 Dec.); vol. 21 pp. 11-18 (1973 Jan./Feb.).

- [9] A.N. Thiele, "Loudspeakers in Vented Boxes," *Proc.IREE Australia*, vol.22, pp.487-508 (1961 Aug); republished in *J.Audio Eng.Soc.*, vol. 19, pp.382-392 (1971 May); pp.471-483 (1971 June).
- [10] A.Budak and P.Aronhime, "Maximally Flat Low-Pass Filters with Steeper Slopes at Cutoff," *IEEE Trans.Audio Electroacoust.*,vol.AU-18,pp. 63-66 (1970 Mar.).
- [11] D.B.Keele, Jr.,"A New Set of Sixth-Order Vented-Box Loudspeaker System Alignments," *J.Audio Eng.Soc.*,vol.23 pp.354-360 (1975 June).
- [12] T.L.Clarke, "Build a Superthruster Loudspeaker," *CQ*,vol. 20 pp. 101-104 (1979 Feb.).
- [13] L.Weinberg, *Network Analysis and Synthesis* (McDraw-Hill, New York, 1962), chap.11.